

D-297

Природно-математички факултет  
Радна заједница заједничких послова  
НОВИ САД

Примљено: 30. априла 1993.

Орг. јед.	Број	Прилог	Број исп.
03	9/54		

UNIVERZITET U NOVOM SADU  
PRIRODNO-MATEMATIČKI FAKULTET  
INSTITUT ZA FIZIKU

TATJANA VUČIĆ

ODREĐIVANJE SADRŽAJA BERILIJUMA Be u uzorcima  
vode i vazduha pomoću stabilizovanog plazma luka

/diplomski rad/

Novi Sad, 1993.

Ovim putem želim da izrazim svoju zahvalnost profesoru Prirodno-matematičkog fakulteta u Novom Sadu dr. Jevremu Janjiću, mentoru i mr. Jeleni Kiurski koji su mi pomogli pri izboru teme, u realizaciji eksperimenta i interpretaciji rezultata.

## S A D R Č A J

UVOD . . . . .	1
OPŠTI DEO	
1. Berilijum kao zagadivac životne sredine . . . . .	2
2. Principi kvantitativne emisione spektrohemijske analize . .	4
2.1. Opšti pojmovi . . . . .	4
2.2. Pobudivanje atoma . . . . .	4
2.3. Termičko pobudivanje . . . . .	6
2.4. Zavisnost intenziteta od koncentracije . . . . .	8
3. Stabilizovani plazma luk sa horizontalnim lučnim stubom kao ekscitacioni izvor i ostali delovi merne aparature . .	10
3.1. Stabilizovani luk . . . . .	10
3.2. Pneumatski raspršivač . . . . .	11
3.3. Spektrograf . . . . .	12
4. Spektrohemijska moć detekcije i granica detekcije . . . .	14
EKSPERIMENTALNI DEO	
1. Pregled korišćenih uređaja . . . . .	16
2. Priprema rastvora . . . . .	16
2.1. Priprema standardnih rastvora . . . . .	16
2.2. Priprema uzoraka . . . . .	16
3. Rezultati i diskusija . . . . .	17
3.1. Utvrđivanje optimalnih uslova za kvantitativno određivanje berilijsuma u rastvorima . . . . .	17
3.2. Uticaj elemenata sa niskim ionizacionim potencijalom.	19
3.3. Uticaj jačine struje na intenzitet emisije berilijsuma . . . . .	21
3.4. Interferentni uticaj metala na emisiju berilijsuma .	22
3.5. Određivanje granice detekcije i greske merenja . .	24
3.6. Primena metode na određivanje berilijsuma u vodi i vazduhu . . . . .	26
ZAKLJUČAK . . . . .	27
LITERATURA . . . . .	28

**O P S T I      D E O**

## U V O D

Industrijalizacija, uz sve veci razvoj moćnih tehnologija i promena opštih uslova života sve više utiču na kvalitet i ravnotezu životne sredine. Nagomilavanje toksičnih materija i nove vrste polutanata su prateće pojave mnogih tehnologija. Toksične supstance često imaju toksično mutageno, kancerogeno ili teratogeno delovanje, a njihovo prisustvo u vazduhu, vodi, zemljistu ili hrani zahtevaju sistematsku kontrolu zagadenosti kao sastavni deo ekoloških ispitivanja. U našim uslovima ovakva istraživanja imaju i praktičan značaj. Naime, identifikacija kritičnih zagadivača i fundamentalnih zakona degradacije životne sredine je prvi uslov da se preduzmu efikasne protivmere.

S obzirom na cinjenicu da je sagorevanje uglja, kao prvi izvora beriliuma, pri proizvodnji električne energije danas veoma rasprostranjeno i da je berilijum jak kancerogen, mogu nastati ozbiljni ekološki problemi. Stoga su ovde prikazani osnovni principi određivanja beriliuma emisionom spektrometrijskom metodom pomoću stabilizovanog plazma luka u cilju potpunije informacije o detekciji i praćenju sadržaja beriliuma kao kontaminanta u vodi i vazduhu.

## I. BERILIJUM KAO ZAGADIVAC ŽIVOTNE SREDINE

Zbog niza jedinstvenih osobina (visoka tvrdoca, transparentnost na x-zrake, dobre osobine legura i mogućnosti da služi kao moderator u nuklearnim reaktorima) beriliјum se koristi u industriji uprkos tome što je redak metal, visoke toksičnosti i cene. Znatne količine beriliјuma se oslobođaju prilikom ekstrakcije iz ruda, prerade i legiranja metala. Sagorevanjem uglja koji sadrži 1-3 ppm <sup>1/</sup> beriliјuma, takođe se oslobođaju zнатне količine ovog metala. Zbog male gustine i visoke negativne energije formiranja oksida, beriliјum je ranije predstavljao odličan dodatak raketnim, avionskim i projektilskim gorivima, ali je upotreba zabranjena.

Za beriliјum i njegova jedinjenja se veruje da su jako otrovna i da mogu da izazovu smrt u visokim koncentracijama. Inhaliranjem beriliјum-prasine dolazi do ozbiljnog oštećenja, tzv. berilioze vec pri koncentraciji od  $0.015 \mu\text{g}/\text{m}^3$  <sup>1/</sup>. Bolesti beriliјuma se mogu javiti i u formi dermatitisa, konjunktivitisa, akutnog pneumonitisa i hronične pulmonarne berilioze <sup>2/</sup>.

Najveći deo toksičnosti beriliјuma potiče od njegove male jonske veličine i visokog naboja u odnosu na velicinu mase, omogućavajući na taj način penetraciju u tkiva i ćelije. Mehanizam toksičnosti beriliјuma je kompleksan. On inhibira različite enzime, uključujući i one koji učestvuju u sintezi DNA. Njegovo nepovoljno dejstvo ogleda se u visokom i selektivnom afinitetu za nukleinske ćelije, te on interferira "in vitro" uz diferencijaciju u razvoju embrionskih tkiva. Ne postoji detoksifikacija ili homeostatski mehanizam za beriliјum <sup>3/</sup>. Beriliјum je jako toksičan i pokazuje hemijsku karcinogenost <sup>4/</sup>.

Posećna dnevna koncentracija beriliјuma u vazduhu je vrlo mala (manja je od  $0.0005 \mu\text{g}/\text{m}^3$  <sup>1/</sup>), a prema U.S. standardima maksimalno dozvoljena dnevna koncentracija u vazduhu u radnim prostorima je  $2 \mu\text{g}/\text{m}^3$  <sup>5/</sup>. Za razliku od žive i nekih drugih metala beriliјum ne migrira na velike udaljenosti, pa se povećane koncentracije ovog metala nalaze samo neposredno oko izvora. Kako se beriliјum oslobođa u obliku čvrstih čestičnih materija njegova emisija se može kontrolisati ciklonima, mokrim separatorima i filtrima.

U vodu berilijum dospeva iz industrijskih otpada. Pronađeno je da berilijum postoji u vodi za piće u SAD u opsegu od 0.01-0.7  $\mu\text{g/l}$  /2/. Ruski standardi dozvoljavaju u površinskoj vodi maksimalnu količinu berilijuma od 2  $\mu\text{g/l}$  /5/.

Do sada su razvijene spektrofotometrijske /6-9/, fluorimetrijske /10/, spektrografske /11, 12/ i druge metode za određivanje berilijuma u uzorcima iz životne sredine. Naprimjer, USEPA\* obuhvata primenu metoda ICP /13/, AAS u plamenu i peci /14, 15/. Kod određivanja berilijuma u rastvoru najzastupljenija je metoda AAS uz ekstrakciju iz kompleksa sa acetilacetonatom /16, 17/, kao i metode IR spektrometrije /18/. Takođe je za određivanje berilijuma u vazduhu i rudama primenjena i LIBS\*\* metoda /19-21/, kao i metoda neplamene atomske apsorpcije sa grafitnim kivetama obavljenim cirkonijumom za određivanje berilijuma u zemljistu /22/ i mnoge druge.

U ovom radu je za određivanje mikrosadržaja berilijuma primenjena metoda atomske emisione spektroskopije sa stabilizovanim plazma lukom /23/ kao ekscitacionim izvorom.

---

USEPA\* - United States Environmental Protection Agency's  
LIBS\*\* - Laser-induced Breakdown Spectrometry

## 2. PRINCIPI KVANTITATIVNE EMISIJE SPEKTROHEMIJSKE ANALIZE

### 2.1. Opšti pojmovi

Pri vrlo niskim koncentracijama nekog elementa u datom uzorku količina svetlosti koju emituje taj element uvek je upravo сразмерna broju njegovih atoma, ako se svi ostali uslovi pod kojima on emituje održavaju konstantnim. Ova linearna zavisnost predstavlja podesnu osnovu za kvantitativnu emisionu spektrohemiju analizu /24/.

Ova metoda koristi fizičko svojstvo supstance da emituje zračenje ako se pobudi.

Ako se analizirani rastvor koji sadrži soli nekih metala unese u obliku aerosola u izvor ekscitacije, odigravaju se sledeći procesi:

1. isparavanje rastvarača;
2. prelaz čestica soli u gasno stanje;
3. disocijacija prisutnih molekula soli u gasnoj fazi na atome metala i atome, molekule ili radikale koji nastaju iz kiselinskog ostatka soli;
4. jonizacija atoma;
5. obrazovanje novih gasovitih jedinjenja od atoma metala i molekula ili radikala prisutnih u plazmi;
6. eksitacija atoma metala i molekula obrazovanih jedinjenja usled sudara sa brzim česticama - molekulima i radikalima;
7. zračenje kvanta svetlosti pri prelazu atoma ili molekula na niži energetski nivo ili u normalno stanje /25/.

### 2.2. Pobudivanje atoma

U normalnom stanju atom se nalazi na osnovnom energetskom nivou i ima minimalnu energiju. Da bi emitovao zračenje mo-

ra biti preveden iz osnovnog stanja u jedno od stanja sa visom energijom, tj. mora biti pobuden. Pobudivanje atoma dešava se samo kada mu se dovede energija spolja, a ova neophodna energija za pobudivanje naziva se potencijal pobudivanja. Energija neophodna da od atoma otkine njegov spoljni elektron naziva se potencijal ionizacije.

Atomi, kao i druge čestice u gasu (molekuli, joni i elektroni), nalaze se u neprekidnom haotičnom kretanju i pri uzajamnim sudarima predaju jedni drugima energiju. Pri tome su moguća dva slučaja. U prvom slučaju, pri sudaru atoma sa nekom od čestica dolazi samo do promene kinetičke energije atoma, ali se on pri tome ne pobuđuje. Ovakvi sudari nazivaju se elastičnim. U drugom slučaju, pri sudaru sva ili samo deo kinetičke energije koju je atom dobio od čestice sa kojom se sudario, odlaže na povećanje unutrašnje energije atoma, pa dolazi do njegovog prelaza na visi energetski nivo, tj. do pobudivanja. Sudari ove vrste nazivaju se neelastičnim.

Kinetička energija čestica koje pobuđuju atom mora zadovoljiti relaciju:

$$E_{kin} \geq E_n - E_\infty \quad (2.2.1)$$

$E_\infty$  - energija osnovnog stanja atoma

$E_n$  - energija nekog od pobudenih stanja atoma

U plazmi izvora su prisutne čestice sa najrazličitijim vrednostima kinetičke energije i zato se kao rezultat sudara javljaju prelazi na različite nivoje. U većini slučajeva atom se u eksitovanom stanju ne nalazi dugo ( $10^{-8}$  s). Ako za to vreme atom ne izgubi energiju u sudaru, elektron se spontano vraća na nižu orbitu, pri čemu se oslobađa kvant svetlosne energije:

$$h \cdot \nu_{mn} = E_m - E_n \quad (2.2.2)$$

$E_m$  - energija atoma u eksitovanom stanju

$E_n$  - energija atoma u konačnom stanju

$h$  - Plankova konstanta ( $h=6.62 \cdot 10^{-34}$  Js)

$\nu_{mn}$  - frekvencija zračenja

Svakom ovakvom prelazu (sa energetskog nivoa koji odgovara eksitovanom stanju na niži nivo) odgovara jedna spektralna linija /25/. Za svaku vrstu atoma postoje karakteristični linijski spektri. Upravo ovi spektri se koriste u kvalitativnoj spektrohemijskoj analizi za identifikaciju prisutnih atoma u analiziranim uzorcima. Intenzitet ovih linija, pri niskim koncentracijama analiziranog elementa, upravo je proporcionalan broju atoma koji emituju zračenje i osnova je za određivanje koncentracije elemenata u kvantitativnoj spektrohemijskoj analizi.

Postoje tri vrste emisionih spektara:

1. *Linijski spektri* nastaju pri zračenju atoma ili atomskih jona, koji se nalaze na takvim rastojanjima od svojih suseda da između sudara mogu da zrače kao pojedinci. Gasovi u atomskom stanju pri nižim pritiscima, odnosno slobodni atomi i joni daju ovakve spekture.

2. *Trakasti spektri* nastaju pri zračenju ionizovanih ili nejonizovanih molekula, sastavljenih od dva ili više atoma, ako su ovi molekuli dovoljno udaljeni jedni od drugih tako da su potpuno udaljeni od svojih suseda. Trakaste spekture emituju višatomni molekuli usijanih gasova i pare, čija temperatura nije dovoljno visoka da bi svi molekuli disocirali u atome i jone.

3. *Kontinualni spektri* nastaju zračenjem usijanih čvrstih tela ili zračenjem usijanih tečnosti, odnosno zračenjem gasova i čvrstih tela pod visokim pritiskom i na visokoj temperaturi /24/.

Kod izvora za pobudivanje spektara u spektrohemijskoj analizi razlikuju se tri tipa pobudivanja:

- a) termičko;
- b) električno;
- c) fotonsko.

### 2.3. Termičko pobudivanje

Izvori u kojima se javlja termičko pobudivanje su plamen, luk i varnica.

Kada se gas zagreje do dovoljno visoke temperature može se izvršiti pobudivanje predajom kinetičke energije. Što je temperatura gasa viša, čestice se brže kreću (imaju veću kinetičku

energiju) pa su i neelastični sudari češći.

Srednja ukupna energija čestica ( $\bar{E}$ ) u gasu određena je njegovom temperaturom:

$$\bar{E} = \frac{i}{2} \cdot k \cdot T \quad (2.3.1)$$

$T$  - absolutna temperatura gasa

$k$  - Boltmanova konstanta ( $k=8.616 \cdot 10^{-5}$  eV/K)

$i$  - broj stepeni slobode

Gornja formula važi samo u slučaju termodinamičke ravnoteže. Do termodinamičke ravnoteže dolazi usled preraspodele energije između čestica putem međusobnih sudara.

Pri uslovima termodinamičke ravnoteže nastaje takođe ravnoteža između procesa pobuđivanja čestica i njihovog prelaska u normalno stanje. Ukoliko je veći potencijal pobuđivanja, utočište se manji broj čestica nalazi u pobuđenom stanju pri datoj temperaturi  $T$ , zajedničkoj za sve čestice. Broj pobuđenih atoma u ovim uslovima dat je jednačinom Boltmana /26/:

$$N_m = N_0 \cdot \frac{\varepsilon_m}{\varepsilon_0} \cdot \exp(-E_m/kT) \quad (2.3.2)$$

$N_m, N_0$  - koncentracije atoma u pobuđenom i normalnom stanju

$\varepsilon_m, \varepsilon_0$  - statističke težine pobuđenog i normalnog stanja

$E_m$  - energija datog nivoa

$T$  - ravnotežna temperatura plazme izvora

$k$  - Boltmanova konstanta

Dakle, kada se uspostavi termodinamička ravnoteža, broj atoma na razlicitim energetskim nivoima eksponencijalno opada sa visinom tih nivoa, a eksponencijalno raste sa povišenjem temperature, što znači da povećanjem temperature raste i broj atoma koji mogu da ostvare prelaz na niže nivoe.

## 2.4. Zavisnost intenziteta od koncentracije

Kvantitativna emisiona spektrohemija analiza zasniva se na tome da intenzitet analitičkih linija po pravilu linearno raste sa povećanjem sadržaja ispitivanog elementa u probi.

Intenzitet zračenja pri prelazu između dva energetska stanja dat je relacijom /26/:

$$I_{mn} = N_m \cdot A_{mn} \cdot h \cdot \nu_{mn} \quad (2.4.1)$$

$N_m$  - broj atoma u jedinici zapremine koji zrače

$A_{mn}$  - verovatnoca spontanog zračenja

$h\nu_{mn}$  - energija izračenog kvanta

Pri termičkom mehanizmu pobudivanja,  $N_m$  (koncentracija atoma u pobudenom stanju) je određeno Boltzmanovom formulom (2.3.2) pa izraz (2.4.1) ima oblik:

$$I_{mn} = N_o \cdot \frac{g_m}{g_n} \cdot A_{mn} \cdot h \cdot \nu_{mn} \cdot \exp(-E_m/kT) \quad (2.4.2)$$

Iz ove jednačine se vidi da se povećanjem temperature T povećava i intenzitet spektralnih linija zbog brzog porasta množitelja  $\exp(-E_m/kT)$ . Međutim, ovo povećanje intenziteta zračenja ide do neke određene vrednosti kada počinje da opada zbog ionizacije atoma, cija je posledica smanjenje koncentracije atoma metala, pa prema tome i intenzitet zračenja opada. Iz jednačine (2.4.2) se vidi da intenzitet spektralnih linija raste proporcionalno koncentraciji nepobuđenih atoma  $N_o$  (ovo važi samo za male koncentracije).

Između koncentracije  $c$  elementa u probi koja se odreduje i broja atoma analiziranog elementa u plazmi  $N_o$ , postoji direktna zavisnost:

$$N_o = \alpha \cdot c \quad (2.4.3)$$

$\alpha$  - koeficijent koji zavisi od procesa u izvoru, sastava probe i uslova eksperimenta /26/.

Za intenzitet linije se sada dobija izraz:

$$I_{mn} = \alpha \cdot c \cdot \frac{g_m}{g_n} \cdot A_{mn} \cdot h \cdot v_{mn} \cdot \exp(-E_m/kT) \quad (2.4.4)$$

koji se može predstaviti u ovom obliku:

$$I_{mn} = a \cdot c \quad (2.4.5)$$

gde je:  $a = \alpha \cdot (g_m/g_n) \cdot A_{mn} \cdot h \cdot v_{mn} \cdot \exp(-E_m/kT)$  koeficijent proporcionalnosti određen sastavom probe i prirodom linije. Graficka zavisnost između intenziteta i koncentracije obično se predstavlja u logaritamskom obliku /26/. Logaritmovanjem jednačine (2.4.5) dobija se:

$$\log I = \log a + \log c \quad (2.4.6)$$

Ovaj izraz grafički predstavlja pravu sa nagibom od  $45^\circ$ . Sa povećanjem koncentracije rast krive se usporava što se objašnjava pojavom koja se naziva samoapsorpcija spektralnih linija. Razlog nastajanja samoapsorpcije je činjenica da se svetlost u plazmi ne samo emituje nego i apsorbuje, pri čemu je apsorpcija utoliko veća ukoliko je koncentracija veća.

Pri pojavi samoapsorpcije, između intenziteta i koncentracije postoji relacija data empirijskom Lomakin-Sheibeovom jednačinom na kojoj je zasnovana emisiona kvantitativna spektrohemijska analiza:

$$I = a \cdot c^b \quad (2.4.7)$$

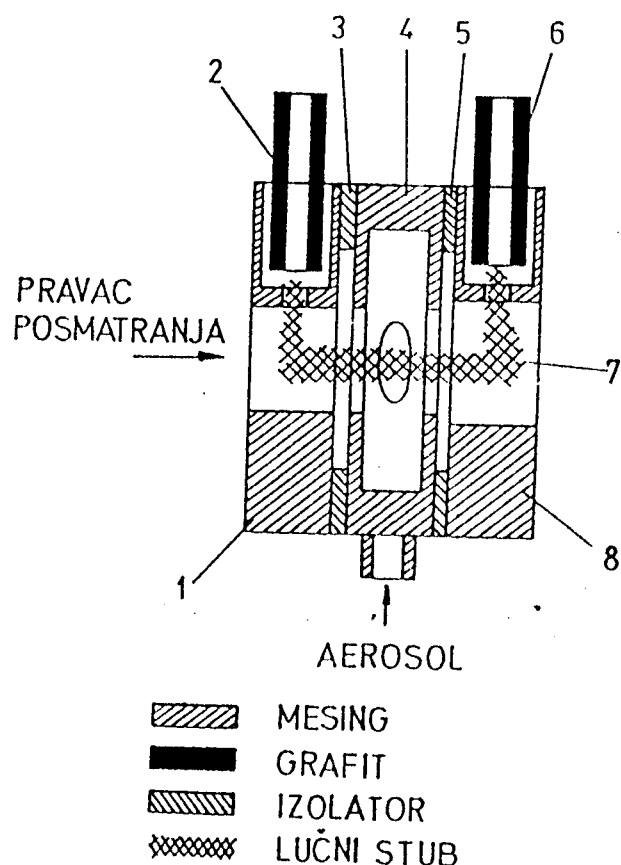
$b$  - koeficijent koji karakteriše samoapsorpciju. Pri malim koncentracijama ovaj koeficijent je blizak jedinici, a pri većim se smanjuje i približava nuli. Za relativno male intervale koncentracije samoapsorpcija ostaje konstantna.

Za kvantitativnu spektrohemiju analizu biraju se luke koje su dovoljno osetljive za rad u zadatom intervalu koncentracija.

### 3. STABILIZOVANI PLAZMA LUK SA HORIZONTALNIM LUČNIM STUBOM KAO EKSCITACIONI IZVOR I OSTALI DELOVI MERNE APARATURE

#### 3.1. Stabilizovani luk

Stabilizovani luki spadaju u relativno nove ekscitacione izvore u spektrohemijskoj analizi. Njihova uspešna analitička primena zasniva se na posebnim ekscitacionim svojstvima stabilnog pražnjenja u atmosferi argona puferovanog alkalnim metalima. Izvori ovog tipa kombinuju u sebi pored mogućnosti direktnog uvođenja rastvora u pražnjenje i stabilnost plamena i dobre osobine luka /27/.

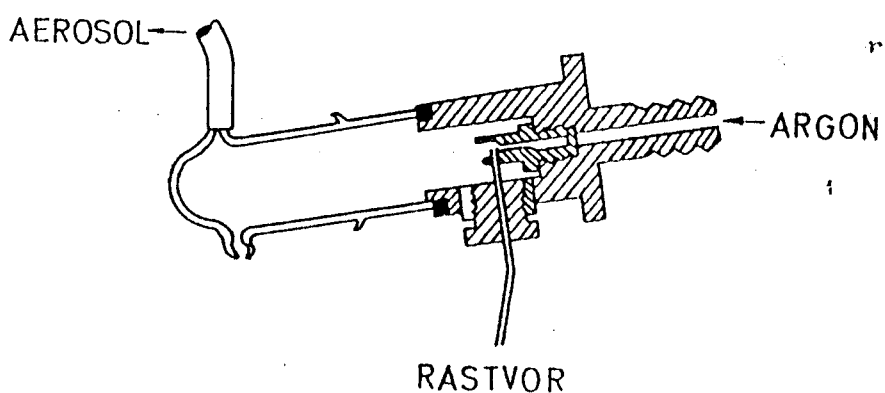


Slika 1. Stabilizovani luk: 1, 4, 8 - stabilizujući segmenti; 2, 6 - elektrode; 3, 5 - izolatori; 7 - lučni stub.

Osnovni delovi ovog električnog luka su prikazani na slici 1. Uredaj se sastoji od mesinganih segmentata električno izolovanih i hlađenih vodom. Luk se formira u horizontalnoj ravni između ugljene katode (2) i grafitne anode (6). Lučni stub je označen brojem (7). On poprima oblik prikazan na slici usled dejstva stabilizujućeg otvora na segmentima (1, 4, 8) i dejstva stabilizujućeg gasa, odnosno aerosola. Aerosol uzorka se uvodi tangencijalno u centralni segment koji je teflono (3, 5) izolovan od ostalih delova i ne hlađi se vodom. Za vreme rada luka ovaj segment se nalazi na povišenoj temperaturi i zbog toga ne dolazi do kondenzovanja kapljica aerosola u njegovoj unutrasnjosti. Slaba struja argona se uvodi u sekcijsku izvoru neposredno oko elektroda da bi se sprecilo njihovo trošenje. U toku rada luka se uspostavlja stacionarna prostorna raspodela elemenata iz rastvora /27/.

### 3.2. Pneumatski raspršivač

U ovom radu je korisan pneumatski raspršivač sa raspršivačkom komorom prikazan na slici 2 /28/. Telo raspršivača je izrađeno od stakla, a nosač kapilare od tvrdog polivinila. Raspršivanje se vrši pomoći mehaničke energije argona koji ujedno služi i kao stabilizujući gas. Pomoći argona se i transportuje aerosol do lučne plazme.



Slika 2. Pneumatski raspršivač

Argon se koristi zato što ostavlja nepokrivena trakama široka spektralna područja koja mogu da se koriste u spektroanalitičke svrhe. U atmosferi vazduha, azota i ugljen-dioksida znatna spektralna područja su prekrivena molekulskim trakama.

Analizirana supstanca se neprekidno uvodi u plazmu. Ovaj način se često koristi u spektrohemijskoj analizi jer obezbeđuje dosta dobru reproducibilnost rezultata, pojednostavljuje i dozvoljava automatizaciju osnovnih operacija analiza.

Nedostatak ovakvog unošenja uzorka su dosta velike količine supstance potrebne za analizu jer je koeficijent iskorisćenja probe mali (na temperaturama višim od 5000 K usled otpora koji pruža visokotemperaturna plazma pri prodiranju u njenu unutrašnjost).

Pri neprekidnom uvođenju supstance u plazmu u obliku rastvora potrebno je da se ostvari stabilna plazma veće zapremine, kako bi se vreme boravka čestice u plazmi produžilo. Na vreme boravka utiču transportni procesi, procesi isparavanja probe i karakteristike izvora ekscitacije.

Navedeni fenomeni kao i sastav samog rastvora koji se unosi u zonu pražnjenja, utiču na intenzitet spektralnih linija.

### 3.3. Spektrograf

Spektralni aparati obezbeđuju razlaganje po talasnim dužinama zračenja koje emituje izvor i koje pada na razrez.

Svaki spektralni aparat ima tri osnovna dela:

a) kolimatorski deo sa uskim razrezom postavljenim u zizu objektiva kolimatora;

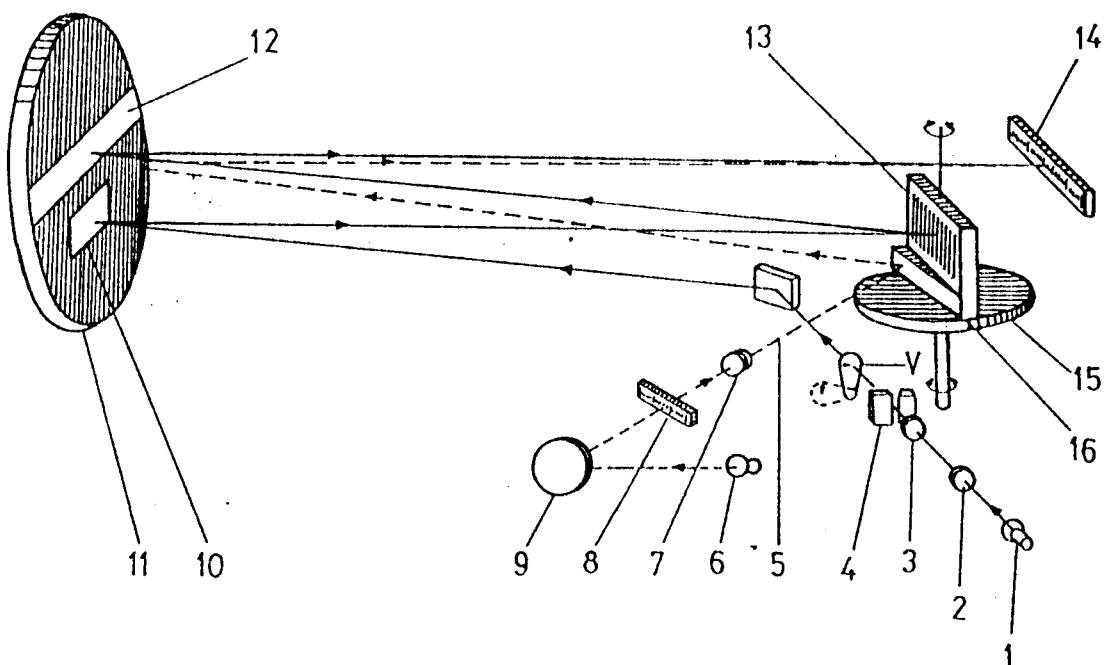
b) disperzionalni element (prizma ili rešetka) koji razlaže svetlosni snop u niz zrakova različite talasne dužine;

c) kamerno sočivo koje u svojoj ziznoj ravni skuplja monohromatske zrake, dajući monohromatske slike ulaznog razreza. Ove slike čine spektar /27/.

U ovom radu je korišćen spektrograf PGS-2. Kao disperzionalni element kod ovog spektralnog uređaja koristi se ravna refleksiona rešetka. Na slici 3. je predstavljen sematski dijagram putanje zraka. Zraci prolaze kroz razrez (4) preko ogledala za promenu pravca (5) ka donjem delu (10) velikog konkavnog ogledala.

la (11) posle čega su paralelno usmereni na refleksionu rešetku (13). Posle difrakcije na rešetki dispergovani snopovi zraka padaju na gornji deo konkavnog ogledala (12), koje opet ujedinjuje paralelne zrake tako da u ravni fotomultiplikatora (14) nastaje spektar. Rešetka je postavljena tako da mogu da se koriste različite oblasti talasnih dužina i razliciti spektralni redovi jednostavnim obrtanjem odnosno podešavanjem ugla rešetke.

Ovakav je raspored veoma efikasan pre svega zato što se sa promenom spektralnih redova difrakcionog spektra ili zamenom rešetke postiže razlicita disperzija i mod razlaganja, odnosno razlicita fizička efikasnost spektra.



Slika 3. Optička schema spektrografa PGS-2:

- |                      |                                 |
|----------------------|---------------------------------|
| 1, 6 - kolimator;    | 10, 11, 12 - konkavno ogledalo; |
| 2, 3, 7, 9 - sociva; | 13 - refleksiona rešetka;       |
| 4 - razrez;          | 14 - fotomultiplikator;         |
| 5 - ogledalo;        | 15, 16 - postolje za rešetku;   |
| 8 - skala;           |                                 |

Difrakcionala rešetka se sastoji od velikog broja blisko poredanih ureza. Sto je njihov broj vedi, teorijski je veća i mod razlaganja rešetke, a ukoliko su urezi bliži jedan drugom utoliko je veća i disperzija rešetke.

#### 4. SPEKTROHEMIJSKA MOĆ DETEKCIJE I GRANICA DETEKCIJE

Dokazivanje i kvantitativno određivanje elemenata metodom emisione spektrohemijске analize sastoji se u merenju intenziteta analitičke spektralne linije nad kontinualnim fonom spektra. Ako se podeli od ove činjenice, moć detekcije je ograničena što se manifestuje u nepostojanosti same linije i fona na kojem se ona nalazi. Razlog fluktuacije za vreme merenja je kvantni karakter emisije linije i fona, kao i fluktuacije u izvoru (promene jačine struje, prostorne stabilnosti, unošenje treće supstance itd.).

Pri određivanju malih koncentracija, merenje je uvek pradeno nekom greskom te se postavlja pitanje pouzdanosti rezultata.

Statistički pojam granice detekcije uvodi analitički nivo fluktuacije. Fluktuacija deluje već kada se analiza primeni na slepu probu. Uzroci koji određuju fluktuaciju u slepoj probi mogu da budu razliciti. Trenutna veličina odstupanja od srednje vrednosti ne može da se odredi i predviđi teorijski, nego se izučava iz niza takvih eksperimenata i razvija model ponašanja fluktuacija. Odabere se jedan nivo koji fluktuacije retko dosežu i smatra se da je, ukoliko se on prevaziđe, u probi prisutna ispitivana supstanca.

Iz određenog broja analiza slepih proba nalazi se vrednost  $x_{sl}$ , a obradom  $\bar{x}_{sl}$  i standardna devijacija  $\sigma_{sl}$ .

U ovom radu je korišćen Kaiserov kriterijum /29/ dovoljne sigurnosti dokaza nekog elementa. Kaiserov kriterijum zahteva da razlika između izmerene veličine  $x$  i srednje vrednosti pozadinskog intenziteta u spektru slepe probe  $\bar{x}_{sl}$  (na talasnoj dužini ispitivanog elementa) bude  $k$  puta veća od standardne devijacije pozadinskog intenziteta:

$$x - \bar{x}_{sl} > k \cdot \sigma_{sl}$$

$x$  = intenzitet ispitivane linije

$\bar{x}_{sl}$  = srednja vrednost intenziteta pozadine

Za spektrohemiju moć detekcije, sem intenziteta linije bitan je i odnos intenziteta linije prema fluktuacijama pozadinskog intenziteta.

Faktor  $k$  se odreduje, statističkim faktorom pouzdanosti. Za pouzdanost dokazivanja od 99.86%,  $k$  ima vrednost 3, pa je:

$$\underline{x} = \bar{x}_{sl} \pm 3 \cdot \sigma_{sl}$$

Analitički rezultati blizu granice detekcije usled rasejavaanja nisu sigurni. Ako se dobije vrednost  $x > \bar{x} + 3\sigma$ , može da se kaže da je analizirana supstanca sigurno detektovana.

E K S P E R I M E N T A L N I D E O

## 1. PREGLED KORIŠĆENIH UREDAJA

U ovom radu koriscena je sledeca aparatura:

- lučni generator jednosmerne struje (napon u kolu je 240 V);
- električni stabilizovani luk sa horizontalnim lučnim stubom sa grafitnim elektrodama (Ringsdorf Werke RW II);
- pneumatski raspršivač (protok argona  $50 \text{ cm}^3/\text{s}$ , utrosak rastvora  $0.025 \text{ cm}^3/\text{s}$ , efikasnost raspršivača 3 %);
- spektrograf PGS-2 Carl Zeiss, Jena, sa ravnom rešetkom (sa  $1200 \text{ mm}/\text{mm}$ ) i sirinom izlaznog razreza  $0.03 \text{ mm}$ ;
- fotomultiplikator, tip 1P28, proizvodnja RCA (spektralna osetljivost  $210-670 \text{ nm}$ , tamna struja  $10^{-19} \text{ A}$ , ukupni napon  $1250 \text{ V}$ , koeficijent pojačanja  $10^7$ );
- potenciometarski registrator B1G1, osetljivost pri punom otklonu  $10^{-9} \text{ A}$  (vremenska konstanta  $1\text{s}$ ).

## 2. PRIPREMA RASTVORA

### 2.1. Priprema standardnih rastvora

Serija standardnih rastvora pripremana je razblaživanjem osnovnih standarda metala koncentracije  $1000 \text{ mg/l}$  proizvodnje BDH, Engleska. Potrebne koncentracije rastvora su dobijene mешanjem sa 2.5 % rastvorom KCl u odnosu 1:1. Za ispitivanje referentnih uticaja aluminijuma i molibdena, standardnim rastvorima berilijuma koncentracija 1, 5 i  $10 \text{ mg/l}$  su dodavani rastvori interferentnih metala, tako da u zapremini od  $25 \text{ ml}$  daju koncentraciju tih metala od 10, 50, 100, 250 i  $500 \text{ mg/l}$ .

### 2.2. Priprema uzoraka

*Uzorci vode.* Prirodne vode se često analiziraju bez prethodnog tretiranja. U ovom slučaju se uzorci vode zakisele sa azotnom kiselinom da bi se omogućilo da elementi iz vode budu prisutni u samo jednom oksidacionom stanju i zbog povećanja stabilnosti, pri čemu se pH-vrednost uzorka podešava na oko 2. Uzorci vode su izabrani nasumice i predstavljaju presek prirodne

površinske vode reke Dunav na teritoriji Vojvodine. Uzorcima voda je dodavan KCl (2.5 %) u odnosu 1:1, te je faktor razblaženja uzorka  $F_R = 2$ .

*Uzorci vazduha.* Za uzorkovanje vazduha je korisćen filter-papir FILTRAK 338 površinske gustine  $8.7 \text{ mg/cm}^2$  /29/. Provlačenje vazduha je vršeno preko kružnog filter-papira prečnika 5.5 cm, od kojeg je kasnije isecan uzorak prečnika 4 cm. Zapremina provučenog vazduha je merena gasnim meraćem protoka firme ROMBACH sa maksimalno merljivim protokom od  $10 \text{ m}^3/\text{h}$ . Iskorisćenje papira je oko 97 %. Filter-papir prečnika 4 cm je razoren u minimalnoj kolicini smeše azotne, sumporne i perhlorne kiseline i razblažen demineralizovanom vodom do određene zapremine. Uzorci su nasumice uzimani iz radne sredine autoservisne radionice AUTOVOJVODINE u Novom Sadu. Uzorcima je pre određivanja berilijskog juma dodavan KCl (2.5 %) u odnosu 1:1.

### 3. REZULTATI I DISKUSIJA

#### 3.1. Utvrđivanje optimalnih uslova za kvantitativno određivanje berilijskog juma u rastvorima

Za određivanje mikrosadržaja berilijskog juma korisćena je metoda atomske emisione spektroskopije, zasnovana na sposobnosti elektrona i mogućnosti atoma da pređu u viši energetski nivo pod pogodnim ekscitacionim uslovima. Promena energije uslovljena ovim prelazom i zavisnost talasne dužine od emitovanog zračenja su karakteristični za dati element. Kao ekscitacioni izvor korisćen je stabilizovani plazma luk /23/. Ekscitacija uzorka uslovjava njegovu konverziju iz tečnog u parno stanje. Originalna molekulska struktura se razara, formiraju se novi molekuli i frakcije sastojaka se ionizuju. Difuzija i migracija pod uticajem električnog polja uslovjava isparavanje i kretanje kroz gas u zoni praznjenja, tj. kompoziti pare uzorka i atmosfere u kojoj se odigrava praznjenje se sile zbog konvekcije i proticu nagore. U plazmi na visokim temperaturama (4000-7000 K) nastaje izvestan broj sudara koji omogućava ekscitaciju i deeksitaciju atoma, jona i molekula. Male frakcije eksitovanih čestica odaju ener-

giju ekscitacije spontanom emisijom. Neki od nastalih kvanata se zaustavljaju i apsorbuju na svom putu kroz okolinu, nakon čega se energija ekscitacije konvertuje preko sudara ponovo u kinetičku energiju. Deo zračenja koji konačno izlazi iz izvora, ulazi kroz otvor optičkog sistema (spektrograf PGS-2) i proizvodi informativne signale čiji se intenzitet zapisuje na detektoru.

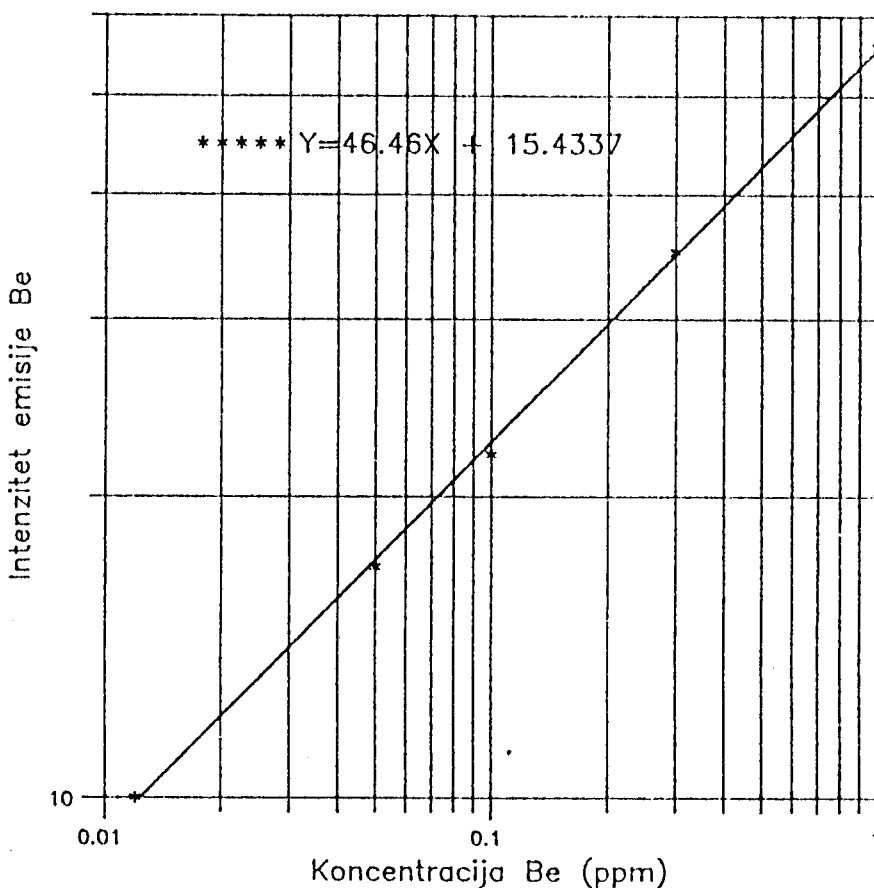
Analizom koncentracione osetljivosti za intenzivne spektralne linije neutralnog atoma berilijsuma na  $234.86 \text{ nm}$ ,  $313.04 \text{ nm}$  i na  $313.11 \text{ nm}$  pokazalo se da je odnos priraštaja relativnog intenziteta emisije i koncentracije najveći kod linije na  $313.04 \text{ nm}$ , koja je i korisćena kao analitička linija u toku svih merenja.

Linearna relacija između intenziteta emisije i koncentracije berilijsuma dobija se ustanovljenim optimalnim parametrima datim u Tabeli 1.

Tabela 1. Optimalni uslovi određivanja berilijsuma

Osnovno stanje atoma Be	$2s^2 \ ^1S_0$
Prvi ionizacioni potencijal	$9.32 \text{ eV}$
Energija pobudjivanja prelaza	$2.24 \text{ eV}$
Analitička linija	$313.04 \text{ nm}$
Disperzija	$0.363 \text{ nm/mm}$
Sirina razreza	$0.002 \text{ mm}$
Jacina struje	$7.5 \text{ A}$
Napon na fotomultiplikatoru	$0.8 \text{ kV}$
Protok argona	$50 \text{ cm}^3/\text{s}$

Primenom metode direktnе kalibracije i grafičkim predstavljanjem zavisnosti relativnog intenziteta emisije od koncentracije analita ustanovljena je linearnost u koncentracionom opsegu od 0.05 do  $1.0 \text{ mg/l}$  berilijsuma. Kalibraciona kriva je prikazana na slici 1.



Slika 1. Kalibraciona kriva određivanja berilijsuma

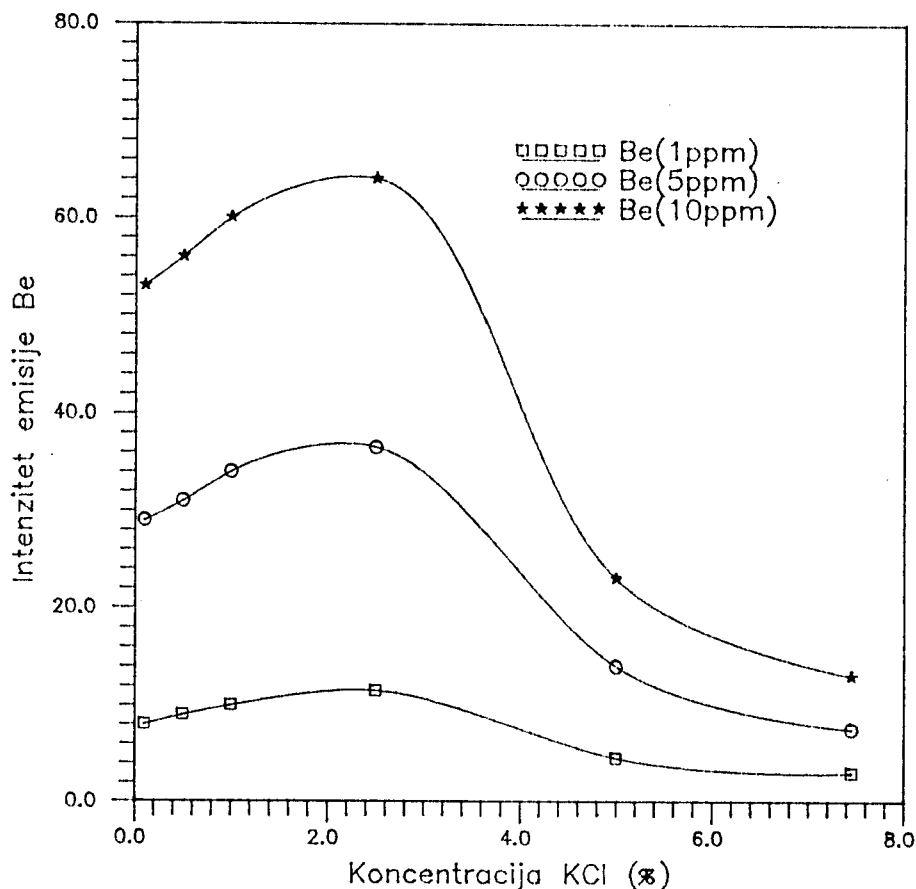
### 3.2. Uticaj elementa sa niskim ionizacionim potencijalom

Uvođenje elementa sa niskim ionizacionim potencijalom u lučni stub pokazuje znatan efekat, kako na izgled luka tako i na spektralnu emisiju. Efekat je izraženiji ukoliko je nizi ionizacioni potencijal elementa koji se uvodi. Za praktične svrhe kao najpogodniji se pokazao kalijum u obliku KCl /30/.

Uvođenje lakojonizujućih atoma u plazmu povećava koncentraciju slobodnih elektrona dok, nasuprot tome, temperatura plazme ostaje nepromenjena. Efekat suzbijanja ionizacije objasnjava uzajamno pojačavacko dejstvo metala. Ovaj efekat je utoliko veći ukoliko je nizi ionizacioni potencijal dodatnog elementa i ukoliko je viska temperatura plazme.

Prve kolicine dodatog KCl izazivaju naglo povećanje in-

tenziteta emisije berilijskog iona, a daljim dodavanjem naknadnih količina uticaj je sve manji i postepeno isčezava, kao što se vidi na slici 2. Tako je ustanovljeno da se maksimalni intenzitet emisije berilijskog iona postiže pri koncentraciji KCl od 2.5 %. Uzrok ovome je verovatno u samom karakteru uzajamnog dejstva elemenata u plazmi. Pri vezivanju atoma u molekule stabilne u plazmi, mora se računati sa izvesnom isparljivošću jedinjenja koje se obrazuje, usled čega se čak ni pri uvođenju velikih količina drugog elementa svi atomi metala ne vezuju potpuno u molekule.



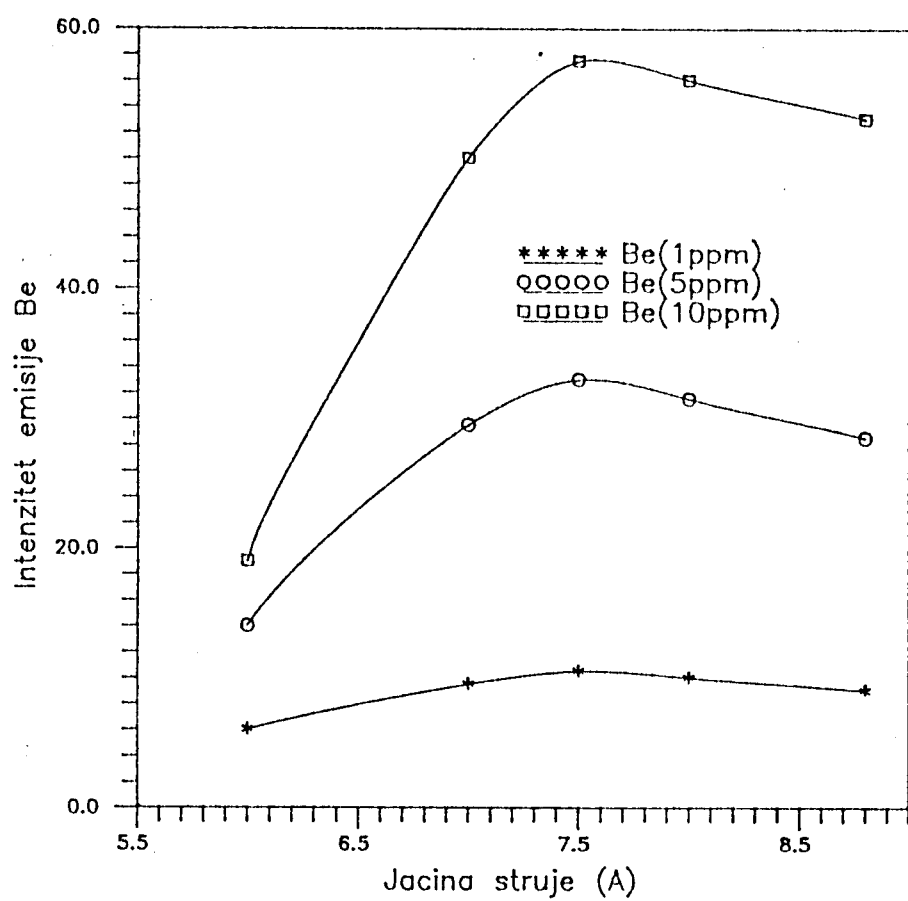
Slika 2. Zavisnost intenziteta emisije berilijskog iona

od koncentracije ujednačavaca

Uticaj KCl ne može se svesti samo na suzbijanje jonizacije, jer njegovo prisustvo u lučnom stubu skoro podjednako povećava intenzitete i atomskih i jonskih linija. Iz ovoga sledi da prisustvo elementa sa niskim ionizacionim potencijalom, kao ujednačavaca, menja ili efikasnost ulazeњa elemenata u lučni stub ili vreme zadržavanja u „zoni eksicitacije, a moguce je da utiče na oba procesa.

**3.3. Uticaj jocene struje na intenzitet emisije  
beriliijuma**

Eksperimentalno je pokazano da na osnovu povećanja struje dolazi do promene provodljivosti luka, dok se ne dostigne



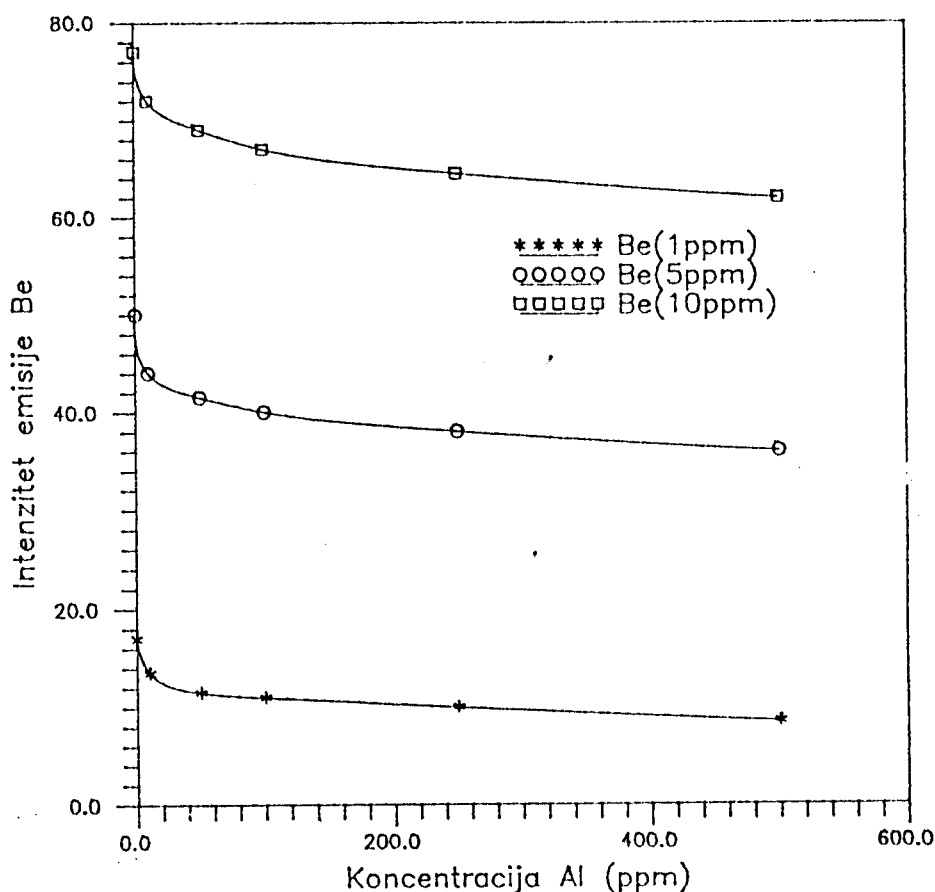
Slika 3. Zavisnost intenziteta emisije Be od jocene struje

linearna zavisnost provodljivosti od struje /31/. Ovaj fenomen se može objasniti inicijalnim povećanjem temperature plazme u zavisnosti od porasta struje, a to ujedno dovodi do porasta emisije. Maksimum emisije postiže se pri struji od 7.5 A (slika 3.) pri čemu se postiže temperatura u luku od 5000-6000 K. Razlog za to je što je gustina nanelektrisanja čestica u plazmi vrlo niska, a otpornost u luku veoma velika. Na osnovu porasta temperature luka, raste stepen jonizacije i gustina propuštenih čestica koje povećavaju provodnost u plazmi. Porast temperature plazme neizbežno uslovjava porast gubitaka energije, koji se prenose preko zagrevanja, zračenjem ili termičkom konduktivnošću itd. Dalji porast struje uslovjava manji stepen porasta u konduktivnosti plazme i na kraju se uspostavlja ravnoteža koja ograničava toplotne gubitke, a intenzitet emisije postepeno opada (slika 3.).

#### 3.4. Interferentni uticaj metala na emisiju beriliјuma

U visokotemperaturnoj plazmi ionizacija ima veliki značaj. S druge strane, mogućnosti plazme da disocira i redukuje refraktorne okside može usloviti kompletanu promenu interferentnih efekata (prisustvo Al smanjuje, a Mo povećava emisiju beriliјuma). U ovim slučajevima predložen je merodavni mehanizam /32/ preko kojeg atomi aluminiјuma preferencijalno otklanjaju atomski kiseonik iz plazme, omogućavajući višu koncentraciju ispitivanog elementa u njegovom atomskom obliku. Ovi procesi su favorizovani velikim povećanjem interferenta.

Za beriliјum je u ovom radu pokazano da aluminiјum uzrokuje negativne interference zbog obrazovanja teško isparljivih jedinjenja od oksida metala. Sa povećanjem koncentracije aluminiјuma intenzitet zračenja beriliјuma se smanjuje najpre naglo, a zatim postepeno (slika 4.). Kod koncentracije beriliјuma od 1 ppm smanjenje iznosi oko 42 %, dok je kod većih koncentracija beriliјuma ovo smanjenje nesto manje. Mehanizam ovog gašenja emisije treba pripisati obrazovanju teško isparljivih jedinjenja i jedinjenja koja slabo disosuju, što otežava prelaz metala u gasno stanje. Sem toga, dobro je poznato da beriliјum i aluminiјum

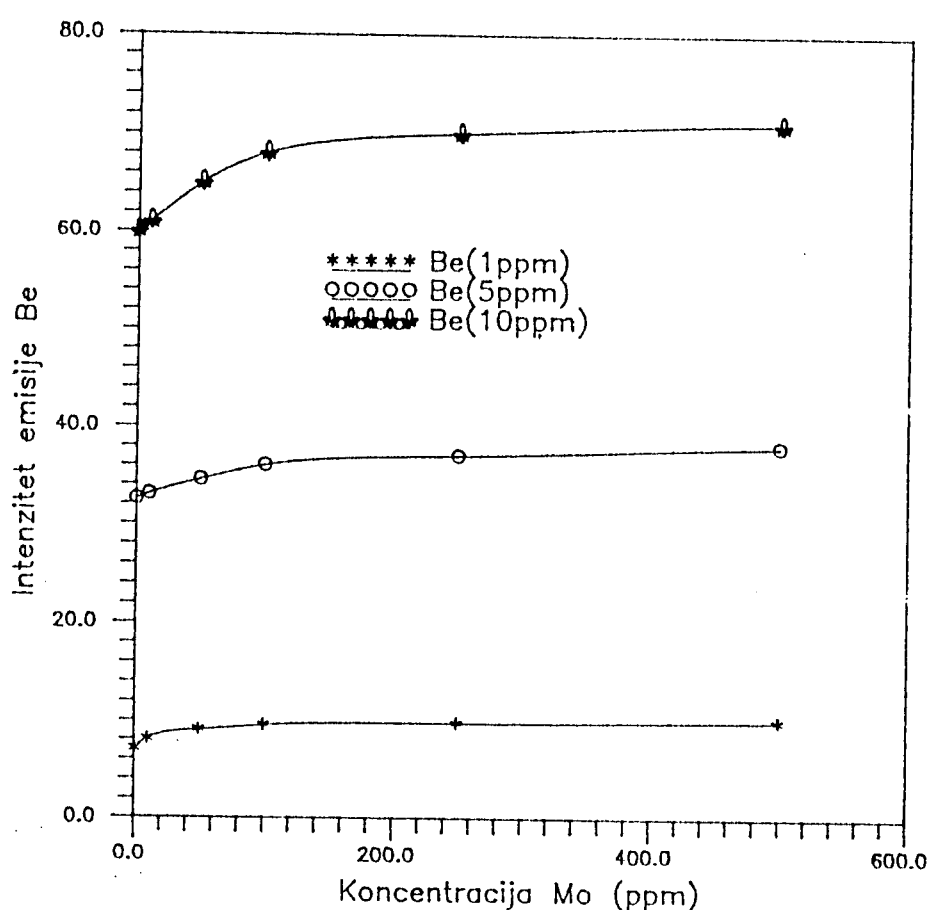


Slika 4. Interferentni uticaj aluminiijuma na emisiju berilijskog

jam predstavljaju verovatno najbolji primer "diagonalne veze" u Periodnom sistemu elemenata, te otud mnoge hemijske sličnosti među njima. Vazno je još naglasiti da je glavni izvor berilijskog minerala beril, čiji sastav  $(3\text{BeO} \cdot \text{Al}_2\text{O}_3 \cdot 6\text{SiO}_2)$  ukazuje na napred rečeno.

Refraktorni elementi, za koje se može očekivati da pro-uzrokuju značajne redukcije u koncentraciji atomskog kiseonika, različito pojačavaju emisiju berilijskog. U našem slučaju molibden pojačava emisiju berilijskog maksimalno 17 % (Slika 5.). Naime, linija molibdena na 313.26 nm je vrlo bliska sa linijom berilijskog na 313.04 nm, te dolazi do spektralnog preklapanja.

Zbog nemogućnosti razjašnjenja ove teorije, za sve posmatrane efekte neophodno je zaključiti da je većina metalnih interferenci individualna.



Slika 5. Interferentni uticaj molibdena na emisiju berillijuma

### 3.5. Određivanje granice detekcije i greske merenja

Granica detekcije je utvrđena po navedenom kriterijumu  $3\sigma$ . Za granicu detekcije je uzeta ona koncentracija atoma koja daje skretanje instrumenta jednako trostrukoj standardnoj devijaciji.

Tabela 2. Intenziteti zračenja slepe probe

x	x - $\bar{x}$	$(x - \bar{x})^2$
14.8	-0.6	0.36
15.3	-0.1	0.01
15	-0.4	0.16
15.2	-0.2	0.04
15.8	0.4	0.16
15.8	0.4	0.16
16	0.6	0.36
15.2	-0.2	0.04
15	-0.4	0.16
16	0.6	0.36
$\bar{x} = 15.41$		$\sum (x - \bar{x})^2 = 1.81$

Na osnovu merenja intenziteta zračenja rastvora kalijum-hlorida i vode u odnosu 1:1 (slepa proba) izračunata je standardna devijacija:

$$\sigma = \sqrt{\frac{\sum (x - \bar{x})^2}{n - 1}} \quad \sigma = 0.448$$

Zatim je određena vrednost granice detekcije:

$$GD = 3\sigma \cdot \frac{C}{I}$$

Za izabranu vrednost koncentracije berilijuma od 0.3 mg/l i njoj odgovarajući intenzitet (I=33):

$$GD = 0.012 \text{ mg/l}$$

Mera za tačnost, koja se u spektrohemijskoj analizi najčešće upotrebljava je relativna standardna devijacija, izražena u procentima:

$$RSD = \frac{100}{\bar{x}} \cdot \sigma \quad RSD = 2.91$$

**3.6. Primena metode na određivanje berilijuma  
u vodi i vazduhu**

Praktični zadatak ovog rada bio je primena postojeće metode atomske emisione spektroskopije (sa stabilizovanim plazma lukom kao ekscitacionim izvorom) u rešavanju problema vezanih za ispitivanje prisustva tragova berilijuma u uzorcima vode iz reke Dunav i vazduha iz radne sredine servisne radionice AUTOVOJVODI-NE u Novom Sadu. Rezultati analiza prikazani su u Tabeli 3.

Tabela 3. Rezultati kvantitativnog određivanja berilijuma

voda	$c_{Be} \pm RSD [\mu\text{g/l}]$	vazduh	$V [m^3]$	$c_{Be} \pm RSD [\mu\text{g/m}^3]$
11	$24.4 \pm 0.7$	111	4.2	$0.545 \pm 0.016$
12	$15.8 \pm 0.4$	112	4.4	$0.336 \pm 0.010$
13	0.0	113	5.2	$0.447 \pm 0.013$
14	$24.4 \pm 0.7$	114	5.0	$0.256 \pm 0.007$
15	$24.4 \pm 0.7$	115	5.2	$0.051 \pm 0.000$

Kao što se iz Tabele 3. vidi, koncentracije berilijuma u vazduhu radnih sredina su za red veličine manje od maksimalno dozvoljene koncentracije od  $0.001 \text{ mg/m}^3$ , koja je propisana zakonom /33/, te se može konstatovati da je radna sredina sa ovog aspekta bezbedna za rad. Međutim, koncentracija berilijuma u vodama iz reke Dunav, sem u jednom slučaju (uzorak 13), je za red veličine veća od maksimalno dozvoljene koncentracije ( $0.001 \text{ mg/l}$ ) propisane zakonom /34/, što je u saglasnosti sa rezultatima iz literature /35/.

Sve ovo ukazuje na ozbiljan problem i navodi na potrebu permanentne kontrole prisustva berilijuma u vodi, kao i primenu odgovarajućih brzih i efikasnih mera zaštite.

## Z A K L J U Č A K

U ovom radu su ispitane mogućnosti primene i ustanovljeni osnovni parametri za određivanje berilijuma metodom AES pomoću stabilizovanog plazma luka.

Za optimalnu spektralnu liniju izabrana je linija sa talasnom dužinom od 313.04 nm.

Analizirana je zavisnost intenziteta emisije berilijuma od jačine struje i ustanovljeno je maksimum na 7.5 A.

Ustanovljeno je takođe da se maksimum emisije berilijuma postize u prisustvu KCl, kao ujednačavača, u koncentraciji od 2.5 procenata, pri čemu dolazi do promene efikasnosti ulazeњa elemenata u lučni stub, odnosno vremena zadržavanja u zoni eksicitacije.

Ispitani su interferentni uticaji aluminijskog i molibdena i ustanovljeno je smanjenje od 42 % i porast intenziteta emisije berilijuma od 17 % respektivno.

Ova metoda se pokazala primenljivom kod brzog kvantitativnog određivanja berilijuma u vodama i vazduhu, s obzirom da je granica detekcije od 0.012 ppm ( $RSD=2.9\%$ ) dovoljna za utvrđivanje primećenih koncentracija berilijuma.

Zbog svega ovog, mogućnost primene ove metode u kvantitativnoj analizi tragova berilijuma u sredinama sa niskim koncentracionim vrednostima uz visoku reproduktivnost je značajna.

## L I T E R A T U R A

- /1/ D.Tuhtar, "Zagadenje zraka i vode", Svjetlost, Sarajevo, (1984)
- /2/ Standard Methods for the Examination of Water and Wastewater, Natural and Treated Water, (1971)
- /3/ T.D.Luckey, B.Venugopal, "Metal Toxicity in Mammals 1", Plenum Press, New York and London, (1977)
- /4/ A.J.Aller, J.Trace Elecrt. Health Dis., 41, 1, (1990)
- /5/ Hemijsko-tehnološki priručnik, Štetne i opasne materije, IRO "Rad", Beograd, (1986)
- /6/ J.Korkisch, A.Sorio, I.Steffan, Talanta, 23, 289, (1976)
- /7/ J.R.Merrill, M.Honda, J.R.Arnold, Anal. Chem., 32, 1420, (1960)
- /8/ P.Pakalus, W.W.Flynn, Analyst, 90, 300, (1965)
- /9/ T.F.Rudometkina, I.B.Cernova, V.V.Orlov, Zav. lab., 88/9, 5, (1988)
- /10/ W.R.Mechan, Earth Plan. Sci. Letters, 7, 1, (1969)
- /11/ J.F.Kopp, R.C.Kroner, Appl. Spectry., 19, 155, (1965)
- /12/ C.W.Ondrick, N.H.Suhr, Chem. Geol., 4, 429, (1969)
- /13/ U.S. Environmental Protection Agency, "U.S.EPA Contract Laboratory Program Statement of Work for Inorganic Analysis Multi-Media Multi-Concentration", Statement of Work No.787, KFB WA87-Ko25-27, (Office of Solid Waste and Emergency Response, Washington D.C., 1987)
- /14/ W.G.Ellis, W.F.Hodge, D.A.Derby, G.L.Jones, T.A.Himers, At. Spectrosc., 9, 181, (1988)
- /15/ H.Vanhoe, C.Vandecasteele, B.Desmet, R.Dams, J. Anal. At. Spectrom., 3, 703, (1988)
- /16/ E.Y.Campbell, F.O.Simon, Talanta, 25, 251, (1978)
- /17/ S.Tarashima, Geostand. Newslett., 7, 295, (1983)
- /18/ A.J.Aller, Appl. Spectrosc., 44/7, 1159, (1990)
- /19/ L.J.Radziemski, D.A.Cremers, T.R.Loree, Spectrochim. Acta, 38B, 349, (1983)
- /20/ L.J.Radziemski, D.A.Cremers, T.R.Loree, N.M.Hoffman, Anal. Chem., 55, 1246, (1983)
- /21/ J.A.Millard, R.H.Dalling, L.J.Radziemski, Appl. Spectrosc., 40/4, 491, (1986)
- /22/ W.F.Schmidt, F.Dietl, Fresenius Z. Anal. Chem., 326, 40,

(1987)

- /23/ M.Marinković, T.J.Vickers, Appl. Spectrosc., 25, 319, (1971)
- /24/ Harison, Lord i Loosbourow, Praktična spektroskopija, Naučna knjiga, Beograd, (1962)
- /25/ N.S. Poluektov, Analitičke metode plamene fotometrije, Tehnicka knjiga, Beograd, (1973)
- /26/ Dr Dimitrije Pešić, Dr Momir Marinković, Spektrohemijска laboratorijska tehnika, Naučna knjiga, Beograd, (1979)
- /27/ Hemijsko-tehnološki priručnik, Fizičko-hemijske metode, IRO "Rad", Beograd, (1985)
- /28/ Ljiljana Čonkic, Magistarski rad, (1979)
- /29/ Kaiser A., Z. Anal. Chem., 209, 1 (1965)
- /30/ Ž.Škrbić, B.Ribar, J.Kiurski, J.Janjić, Arh. hig. toksikol., 40, 285, (1989)
- /31/ M.Marinković, J.Janjić, D.Janković, Hem. Ind., 4, 171, (1971)
- /32/ J.Mika, T.Török "Analytical Emission Spectroscopy", Akadémiai Kiadó , Budapest, (1974)
- /33/ B.Fleet, K.V.Liberty, T.S.West, Talanta, 17, 203, (1970)
- /34/ Sl. list SFRJ, br.35/71 - Jug. standard iz oblasti zaštite na maksimalno dopustene koncentracije škodljivih gasova, para i aerosola u atmosferi radnih prostorija i radilišta, JUS Z.BO. 001/VIII-1971 donet rešenjem br. 24-3698/1 od 15. jula 1971.
- /35/ Sl. list SFRJ br. 8/78 - Pravilnik o MDK radionuklida i opasnih materija u medurepublickim vodotocima, međudržavnim vodama i vodama obalnog mora Jugoslavije
- /36/ E.R.Collantes, W.J.Dunn III, Appl. Spectrosc., 45/9, 1537, (1991)